

Entanglement and Fidelity of Quantum Teleportation in Heisenberg XXZ Model with Multiple Interactions

Sevda Mirzaei*

Department of Physics, Faculty of Sciences, Sahand University of Technology, Tabriz, Iran

Received: 30.12.2021 Final revision: 27.04.2022 Accepted: 20.07.2022

Doi: [10.22055/jrmbs.2022.17867](https://doi.org/10.22055/jrmbs.2022.17867)

Abstract

In this paper, we considered the two-qubit Heisenberg XXZ model with Dzyaloshinski-Moriya (DM) interaction under the Calogero-Moser model type I, where each spin is affected by the homogeneous and inhomogeneous magnetic field. Assuming that the initial state of the system is $|\psi(0)\rangle = \sin \theta |01\rangle + \cos \theta |10\rangle$, we examined the effects of the relative distance between spins, intrinsic decoherence, magnetic field, DM interaction and the parameters of the initial state of the system on the dynamics of quantum entanglement. The results showed that by increasing the relative distance between the spins, the entanglement decreased. In addition, by applying the inhomogeneous magnetic field in the presence of DM interaction, the effect of intrinsic decoherence on entanglement dynamics could be observed. We also used the two-qubit Heisenberg XXZ model density matrix in the presence of intrinsic decoherence as a quantum channel to teleport the quantum states from the sender to the receiver. Using the fidelity measure, we studied the effect of the different parameters on the quality of the teleported quantum state. We observed that by applying the inhomogeneous magnetic field and in the presence of the DM interaction, the average fidelity is larger than the minimum of the average fidelity

$$\text{i.e., } F_{ave} > \frac{2}{3}$$

Keywords: Entanglement, fidelity, quantum teleportation, Dzyaloshinski-Moriya, Heisenberg model, Calogero-Moser model

* Corresponding Author: s.mirzaei@sut.ac.ir



درهم‌تنیدگی و وفاداری دوربری کوآنتومی در مدل هایزنبرگ XXZ با

اندرکنش‌های چندگانه

سودا میرزائی*

گروه فیزیک، دانشکده علوم پایه، دانشگاه صنعتی سهند، تبریز، ایران

دريافت: ۱۴۰۰/۱۰/۰۹ ... ويرايش نهائي: ۱۴۰۱/۰۲/۰۷ ... پذيرش: ۱۴۰۱/۰۴/۲۹.

Doi: [10.22055/jrmbs.2022.17867](https://doi.org/10.22055/jrmbs.2022.17867)

چکیده

در این مقاله، مدل هایزنبرگ XXZ دو کیوبیتی با اندرکنش ژیالوشینسکی-موریا تحت مدل کالگرو-موزر نوع I ، که هر یک از اسپین‌ها تحت تأثیر میدان‌های مغناطیسی همگن و ناهمگن قرار دارند در نظر گرفتیم. با فرض اینکه حالت اولیه سیستم $\psi(0) = \sin \theta |01\rangle + \cos \theta |10\rangle$ باشد، اثر فاصله نسبی بین اسپین‌ها، واهمدوسی ذاتی، میدان مغناطیسی، اندرکنش ژیالوشینسکی-موریا و پارامترهای مربوط به حالت اولیه سیستم را بر دینامیک درهم‌تنیدگی کوآنتومی بررسی کردیم. نتایج نشان داد که با افزایش فاصله نسبی بین اسپین‌ها، درهم‌تنیدگی کاهش می‌یابد. به علاوه با اعمال میدان مغناطیسی ناهمگن و در نظر گرفتن اندرکنش ژیالوشینسکی-موریا اثر واهمدوسی ذاتی بر دینامیک درهم‌تنیدگی قابل مشاهده است. همچنین از ماتریس چگالی دو کیوبیتی مدل هایزنبرگ XXZ در حضور اثر واهمدوسی به عنوان یک کانال کوآنتومی برای انتقال حالت‌های کوآنتومی از فرستنده به گیرنده استفاده کردیم. با استفاده از سنجه وفاداری کوآنتومی، اثر پارامترهای مختلف را بر کیفیت حالت کوآنتومی انتقال یافته مورد مطالعه قرار دادیم. مشاهده کردیم که با اعمال میدان مغناطیسی ناهمگن و در نظر گرفتن اندرکنش ژیالوشینسکی-موریا، وفاداری کوآنتومی میانگین از حداقل وفاداری کوآنتومی میانگین بیشتر است یعنی $F_{ave} > \frac{2}{3}$.

کلیدواژگان: درهم‌تنیدگی، وفاداری کوآنتومی، دوربری کوآنتومی، ژیالوشینسکی-موریا، مدل هایزنبرگ، مدل کالگرو-موزر

درهم‌تنیده نامیده می‌شود هرگاه نتوان آن را به صورت ضرب تansوری حالت‌های هر یک از زیرسیستم‌ها نوشت که در مقابل مفهوم جدایذیری قرار دارد [۱]. همبستگی غیرموضعی بین زیرسیستم‌ها امکان ارسال یک حالت کوآنتومی به واسطه یک حالت درهم‌تنیده که بین فرستنده و گیرنده به اشتراک گذاشته می‌شود یا به عبارتی دوربری کوآنتومی را به ما می‌دهد که در سال

مقدمه

در سال‌های اخیر درهم‌تنیدگی کوآنتومی به عنوان یک همبستگی کوآنتومی غیرموضعی، بدليل کاربرد در فرآیند اطلاعات کوآنتومی، مورد توجه بسیار قرار گرفته است. درهم‌تنیدگی کوآنتومی یکی از ویژگی‌های سیستم‌های دو یا چند جزئی می‌باشد، به طوری که در مکانیک کوآنتومی حالت یک سیستم چند جزئی

* نویسنده مسئول: s.mirzaei@sut.ac.ir



واهتمدوسی را بر درهم تنیدگی زنجیره هایزنبرگ XYZ دو کیوبیتی مورد مطالعه قرار دادند [۱۰]. همچنین تأثیر واهتمدوسی بر درهم تنیدگی مدل هایزنبرگ XYZ در حضور میدان مغناطیسی یکنواخت [۱۱] و میدان مغناطیسی غیریکنواخت [۱۲] بررسی شده است. تأثیر واهتمدوسی مدل هایزنبرگ بر درهم تنیدگی و وفاداری دوربری کوآنتومی با در نظر گرفتن اندرکنش ژیالوشینسکی-موریا^۴ مورد مطالعه و بررسی قرار گرفته است [۱۳].

در این مقاله مدل هایزنبرگ XXZ در حضور واهتمدوسی ذاتی، میدان مغناطیسی ناهمگن و تحت اندرکنش ژیالوشینسکی-موریا را در نظر می‌گیریم، به طوری که ثابت جفت شدگی بین اسپین‌ها در راستای α و β با اندرکنش کالگرو-موزر^۵ نوع I مشخص می‌شود [۱۴]. با استفاده از سنجه تلاقی برای حالت‌های آمیخته دو کیوبیتی که اولین بار توسط ووترز معرفی شد [۱۵] و [۱۶]، تأثیر فاصله نسبی بین اسپین‌ها، میدان مغناطیسی و اندرکنش ژیالوشینسکی-موریا را بر دینامیک درهم تنیدگی کوآنتومی بین اسپین‌ها در مدل هایزنبرگ دو کیوبیتی مطالعه خواهیم نمود. همچنین از ماتریس چگالی دو کیوبیتی مدل هایزنبرگ XXZ در حضور اثر واهتمدوسی به عنوان یک کانال کوآنتومی برای انتقال حالت‌های کوآنتومی از فرستنده (آلیس) به گیرنده (باب) استفاده خواهیم نمود. اثر واهتمدوسی و پارامترهای مربوط به میدان مغناطیسی و اندرکنش ژیالوشینسکی-موریا بر کیفیت حالت کوآنتومی انتقال یافته، با استفاده از سنجه وفاداری کوآنتومی مورد مطالعه قرار خواهد گرفت. با توجه به اهمیت انتقال حالت‌های کوآنتومی بین دو ناظر با وفاداری کوآنتومی بالا، ملاحظه خواهیم نمود که با اعمال میدان مغناطیسی

۱۹۹۳، توسط بنت^۶ و همکاران مورد مطالعه قرار گرفته است [۲]. وفاداری کوآنتومی به عنوان سنجه‌ای از فاصله یا تشابه بین دو حالت کوآنتومی است که کیفیت دوربری کوآنتومی یا به عبارتی دقت انتقال یک حالت کوآنتومی از فرستنده به گیرنده، به واسطه کانال درهم تنیده را نشان می‌دهد. به طوری که مقدار وفاداری کوآنتومی برای دوربری کوآنتومی ایده‌آل، برابر یک است [۳]. در فرآیند دوربری کوآنتومی دستیابی به انتقال حالت‌های کوآنتومی بین دو ناظر با وفاداری کوآنتومی بالا بسیار مهم و مورد توجه می‌باشد. از جمله سیستم‌هایی که از نظر تولید و بررسی کیفی و کمی حالت‌های درهم تنیده مورد توجه قرار گرفته است، زنجیره‌های اسپینی می‌باشند که نه تنها در شبیه‌سازی کامپیوتراهای کوآنتومی، نقاط کوآنتومی [۴] و اسپین الکترون [۵] بلکه در انتقال حالت‌های کوآنتومی (دوربری کوآنتومی) نیز دارای کاربردهای فراوانی می‌باشند [۷] و [۸]. ساده‌ترین زنجیره اسپینی زنجیره هایزنبرگ^۷ می‌باشد.

هر سیستم کوآنتومی به علت اندرکنش با محیط اطراف خود، تحت تحول زمانی دچار واهتمدوسی می‌شود. مطالعه اثر واهتمدوسی در فرآیند اندازه‌گیری‌های کوآنتومی و محاسبات کوآنتومی از اهمیت ویژه‌ای برخوردار است. یک رهیافت مناسب برای حل مسئله ۱۹۹۱ واهتمدوسی روشی است که میلبورن در سال ۱۹۹۱ مطرح کرد [۸]. مدل واهتمدوسی میلبورن بر این اساس است که سیستم کوآنتومی در بازه‌های زمانی به اندازه کافی کوچک، تحت تحولات یکانی به طور پیوسته تحول نمی‌یابد بلکه به طور تصادفی تغییر می‌کند. تأثیر واهتمدوسی بر درهم تنیدگی زنجیره اسپینی بررسی شده است [۹]. به عنوان مثال شاو^۸ و همکاران تأثیر

⁴ Dzyaloshinski-Moriya

⁵ Calogero-Moser

¹ Bennett

² Heisenberg

³ Shao

$$H = \begin{pmatrix} 2B + J_z & 0 & 0 & 0 \\ 0 & 2b - J_z & 2(-iD_z + J(R)) & 0 \\ 0 & 2(iD_z + J(R)) & -2b - J_z & 0 \\ 0 & 0 & 0 & J_z - 2B \end{pmatrix}$$

ویژه‌مقادیر هامیلتونی ۲ و ویژه‌بردارهای مربوطه

به صورت زیر محاسبه می‌شوند:

$$\begin{aligned} E_1 &= 2B + J_z, E_2 = -2B + J_z \\ E_3 &= 2\eta - J_z, E_4 = -2\eta - J_z \end{aligned} \quad ۳$$

و

$$\begin{aligned} |\psi_1\rangle &= |00\rangle, \\ |\psi_2\rangle &= |11\rangle, \\ |\psi_3\rangle &= \frac{1}{\sqrt{1+|\alpha_+|^2}} (\alpha_+ |01\rangle + |10\rangle) \\ |\psi_4\rangle &= \frac{1}{\sqrt{1+|\alpha_-|^2}} (\alpha_- |01\rangle + |10\rangle) \end{aligned} \quad ۴$$

$$\text{که در آن } \eta = \sqrt{b^2 + D_z^2 + J(R)^2} \quad \text{و} \quad \alpha_- = \frac{b - \eta}{J(R) + iD_z} \quad \text{و} \quad \alpha_+ = \frac{\eta + b}{J(R) + iD_z}$$

بر اساس مدل واهمدوسی میلبورن [۸]، معادله مستر توصیف کننده واهمدوسی ذاتی تحت تقریب مارکوفی با فرض $\hbar = 1$ عبارت است از

$$\frac{d\rho(t)}{dt} = -i[H, \rho(t)] - \frac{\gamma}{2}[H, [H, \rho(t)]] \quad ۵$$

که γ پارامتر واهمدوسی ذاتی می‌باشد. توجه داریم که عبارت اول تحول زمانی یکانی همدوس و عبارت دوم اثر واهمدوسی روی سیستم را نشان می‌دهد. جواب معادله ۵ را می‌توان به صورت زیر نوشت:

$$\rho(t) = \sum_{k=0}^{\infty} M_k(t) \rho(0) M_k^\dagger(t) \quad ۶$$

که

$$M_k(t) = \sqrt{\frac{(\gamma t)^k}{k!}} H^k e^{-iHt} e^{-\frac{\gamma t}{2} H^2} \quad ۷$$

ناهمگن و در نظر گرفتن اندرکنش ژیالوشینسکی-موریا، $F_{ave} > \frac{2}{3}$ یعنی وفاداری کوانتمی میانگین از حداقل وفاداری کوانتمی میانگین برای دوربری کوانتمی موفق و امن بیشتر است.

توصیف مدل

هامیلتونی مدل هایزنبرگ XXZ دو کیوبیتی در حضور میدان مغناطیسی در راستای Z و تحت اندرکنش ژیالوشینسکی-موریا را به صورت زیر در نظر می‌گیریم:

$$\begin{aligned} H &= J_z \sigma_1^z \otimes \sigma_2^z + D_z (\sigma_1^x \otimes \sigma_2^y - \sigma_1^y \otimes \sigma_2^x) \\ &\quad + (B + b) \sigma_1^z \otimes I + (B - b) I \otimes \sigma_2^z \\ &\quad + J(R) (\sigma_1^x \otimes \sigma_2^x + \sigma_1^y \otimes \sigma_2^y) \end{aligned}$$

که در آن J_z ثابت جفت شدگی اسپین در امتداد Z ، D_z مؤلفه Z پارامتر اندرکنش ژیالوشینسکی-موریا است. σ_i ($i = x, y, z$) و I به ترتیب ماتریس‌های پائولی و ماتریس واحد می‌باشد. B بخش همگن میدان مغناطیسی و b بخش ناهمگن میدان مغناطیسی را نشان می‌دهد. $J(R)$ جفت شدگی اندرکنش اسپین-اسپین است که با اندرکنش کالگرو-موزر مشخص می‌شود. در این مقاله، اندرکنش کالگرو-موزر نوع I را در نظر خواهیم گرفت که در آن $J(R) = \frac{1}{R^2}$ ، R فاصله نسبی بین اسپین‌هاست. فرم ماتریسی هامیلتونی فوق در پایه‌های استاندارد $\{|00\rangle, |01\rangle, |10\rangle, |11\rangle\}$ به صورت زیر به دست می‌آید:

۲

$$\rho_{33} = \frac{1}{(1+|\alpha_+|^2)^2} (\alpha_+ \sin \theta + \cos \theta)(\alpha_+^* \sin \theta + \cos \theta)$$

$$+ \frac{1}{(1+|\alpha_-|^2)^2} (\alpha_- \sin \theta + \cos \theta)(\alpha_-^* \sin \theta + \cos \theta)$$

$$+ \frac{(\alpha_+^* \sin \theta + \cos \theta)(\alpha_- \sin \theta + \cos \theta)}{(1+|\alpha_+|^2)(1+|\alpha_-|^2)}$$

$$\times e^{-\frac{\gamma t}{2}(E_3-E_4)^2} e^{-i(E_3-E_4)t} + H.C.,$$

$$\rho_{23} = \frac{\alpha_+(\alpha_+ \sin \theta + \cos \theta)(\alpha_+^* \sin \theta + \cos \theta)}{(1+|\alpha_+|^2)^2}$$

$$+ \frac{\alpha_-(\alpha_- \sin \theta + \cos \theta)(\alpha_-^* \sin \theta + \cos \theta)}{(1+|\alpha_-|^2)^2}$$

$$+ \left(\frac{\alpha_+(\alpha_+^* \sin \theta + \cos \theta)(\alpha_- \sin \theta + \cos \theta)}{(1+|\alpha_+|^2)(1+|\alpha_-|^2)} e^{-i(E_3-E_4)t} \right)$$

$$+ \left(\frac{\alpha_-(\alpha_-^* \sin \theta + \cos \theta)(\alpha_+ \sin \theta + \cos \theta)}{(1+|\alpha_+|^2)(1+|\alpha_-|^2)} e^{i(E_3-E_4)t} \right)$$

$$\times e^{-\frac{\gamma t}{2}(E_3-E_4)^2},$$

همچنین $\rho_{32} = \rho_{23}^*$. نماد * و H.C. نشان دهنده مزدوج مختلط می‌باشد.

در بخش بعدی می‌خواهیم رفتار درهم تنیدگی کوآنتومی را با تغییر پارامترهای مربوط به فاصله نسبی بین اسپین‌ها، میدان مغناطیسی، اندرکنش ژیالوشینسکی-موریا، پارامتر واهمدوسی ذاتی و همین‌طور پارامترهای مربوط به شرایط اولیه سیستم بررسی کنیم.

درهم تنیدگی کوآنتومی

برای مطالعه رفتار درهم تنیدگی حالت تحول زمانی یافته از سنجه تلاقی استفاده خواهیم نمود [۱۵ و ۱۶] که برای ماتریس چگالی آمیخته دو کیوبیتی به‌شکل زیر

$$\rho = \begin{pmatrix} \rho_{11} & 0 & 0 & 0 \\ 0 & \rho_{22} & \rho_{23} & 0 \\ 0 & \rho_{32} & \rho_{33} & 0 \\ 0 & 0 & 0 & \rho_{44} \end{pmatrix} \quad ۱۱$$

به‌صورت زیر تعریف می‌شود:

و $\sum_{k=0}^{\infty} M_k^\dagger M_k = I$ با در نظر گرفتن حالت اولیه دلخواه $\rho(0)$ و جایگذاری در رابطه ۶ ماتریس چگالی سیستم به‌صورت زیر به‌دست می‌آید:

$$\rho(t) = \sum_{m,n=0}^{\infty} \exp\left[-\frac{\gamma t}{2}(E_m - E_n)^2 - i(E_m - E_n)t\right]$$

$$\times \langle \psi_m | \rho(0) | \psi_n \rangle | \psi_m \rangle \langle \psi_n | \quad ^\wedge$$

به‌طوری‌که $| \psi_m \rangle$ و $| \psi_n \rangle$ ویژه‌حالتهای انرژی به‌ترتیب با ویژه مقادیر E_n و E_m می‌باشند. فرض می‌کنیم که سیستم ابتدا در حالت $|\psi(0)\rangle = \sin \theta |01\rangle + \cos \theta |10\rangle$ باشد. واضح است که به‌ازای $\theta = \frac{n\pi}{2}$, ($n = 0, 1, \dots$) حالت سیستم جدایزیر و به‌ازای $\theta = \frac{(2n+1)\pi}{4}$ سیستم دارای بیشینه درهم تنیدگی می‌باشد. با جایگذاری حالت خالص اولیه در رابطه ۸ و با اندکی محاسبات حالت آمیخته زیر به‌دست می‌آید:

$$\rho(t) = \rho_{22} |01\rangle \langle 01| + \rho_{33} |10\rangle \langle 10| \quad ۹$$

$$+ \rho_{23} |01\rangle \langle 10| + \rho_{32} |10\rangle \langle 01|$$

به‌طوری‌که داریم:

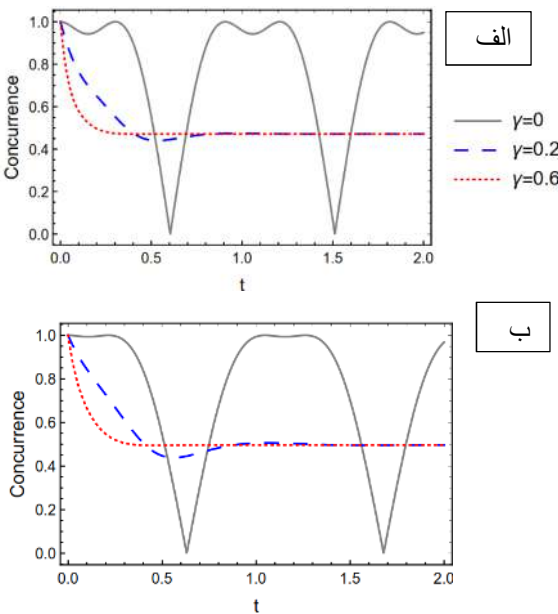
۱۰

$$\rho_{22} = \frac{|\alpha_+|^2}{(1+|\alpha_+|^2)^2} (\alpha_+ \sin \theta + \cos \theta)(\alpha_+^* \sin \theta + \cos \theta)$$

$$+ \frac{|\alpha_-|^2}{(1+|\alpha_-|^2)^2} (\alpha_- \sin \theta + \cos \theta)(\alpha_-^* \sin \theta + \cos \theta)$$

$$+ \frac{\alpha_+ \alpha_-^*}{(1+|\alpha_+|^2)(1+|\alpha_-|^2)} (\alpha_+^* \sin \theta + \cos \theta)$$

$$\times (\alpha_- \sin \theta + \cos \theta) e^{-\frac{\gamma t}{2}(E_3-E_4)^2} e^{-i(E_3-E_4)t} + H.C.,$$



شکل ۲. نمودار تلاقي بر حسب زمان بهازی $\theta = \frac{\pi}{4}$ ، $\gamma = 0$ ، $D_z = J(R) = J_z = b = 1$ و $\gamma = 0.2$ ، $D_z = J_z = b = 1$

به شکل ۲ ملاحظه می‌شود که:

- بهازی $\gamma = 0$ یعنی وقتی سیستم هیچ اندرکنشی با محیط اطراف ندارد، درهم‌تنیدگی با زمان رفتار کاملاً پریودیک از خود نشان می‌دهد.

- در زمان $t = 0$ بهازی $\theta = \frac{\pi}{4}$ سیستم دارای بیشینه

$$\cdot |\psi(0)\rangle = \frac{1}{\sqrt{2}}(|01\rangle + |10\rangle)$$

- بهازی $\gamma \neq 0$ درهم‌تنیدگی با زمان کاهش یافته و در نهایت به یک مقدار ثابت $C(t) \approx 0.5$ میل می‌کند به طوری که با افزایش پارامتر واهمدوسی شدت افت درهم‌تنیدگی افزایش می‌یابد.

- با توجه به رابطه ۱۰، بهازی $D_z = b = 0$ و

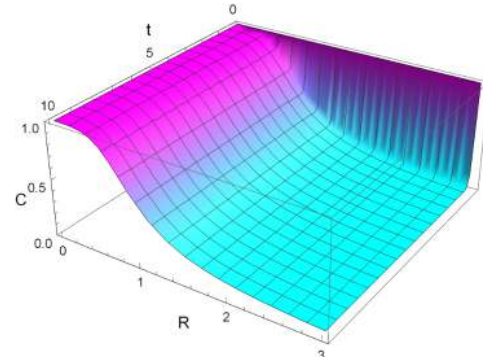
$$\rho_{23} = \frac{1}{2} J(R) \neq 0$$

رابطه ۱۲، مستقل از پارامتر واهمدوسی درهم‌تنیدگی

$$\cdot C(t) = 1$$

$$C = 2 \max \{0, |\rho_{23}| - \sqrt{\rho_{11}\rho_{44}}\} \quad ۱۲$$

به طوری که مقدار تلاقي برای یک حالت با بیشینه درهم‌تنیدگی برابر یک و برای یک حالت جداپذیر صفر است. با جایگذاری از رابطه ۱۲ می‌توان تلاقي را محاسبه نمود. با توجه به اینکه ضرباب α_+ و α_- مستقل از شدت میدان مغناطیسی همگن است، نتیجه می‌گیریم که مقدار درهم‌تنیدگی نیز مستقل از شدت میدان مغناطیسی همگن خواهد بود. ابتدا تأثیر فاصله نسبی بین اسپین‌ها را بر دینامیک درهم‌تنیدگی کوآنتموی بررسی می‌کنیم. در شکل ۱، نمودار تلاقي بر حسب زمان و فاصله نسبی و بهازی $\gamma = 0.6$ ، $D_z = J_z = b = 1$ و $\theta = \frac{\pi}{4}$ رسم شده است.



شکل ۱. نمودار تلاقي بر حسب زمان و فاصله بین اسپین‌ها، بهازی

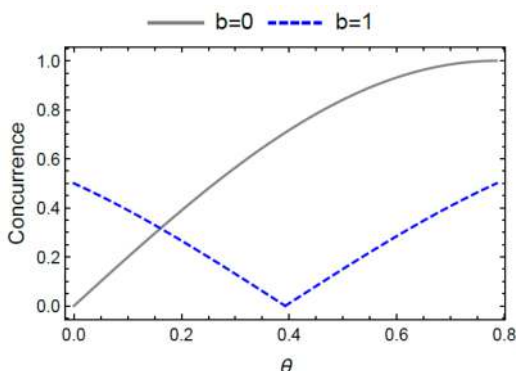
$$\cdot \theta = \frac{\pi}{4} \cdot \gamma = 0.6 \cdot D_z = J_z = b = 1$$

با توجه به شکل ۱ ملاحظه می‌شود که با افزایش فاصله نسبی بین اسپین‌ها، درهم‌تنیدگی کاهش می‌یابد. در شکل ۲ نمودار تحول زمانی تلاقي بهازی مقادیر مختلف پارامتر واهمدوسی رسم شده است.

۳- بهازای $\theta = \frac{\pi}{8}, \frac{\pi}{12}, \frac{\pi}{24}$ درهم تنیدگی به طور یکنواخت کاهش یافته به صفر می‌رسد سپس بهازای b ‌های بزرگ دوباره احیا می‌شود. نکته جالب توجه اینجاست که بهازای $\theta = \frac{\pi}{24}$ پس از احیا درهم تنیدگی از درهم تنیدگی اولیه هم بیشتر می‌شود.

بنابراین مطالعه درهم تنیدگی در زمان معین نشان می‌دهد که تنظیم میدان مغناطیسی ناهمگن می‌تواند از درهم تنیدگی در مقابل اثر مخرب واهمدوسی ذاتی محافظت نماید. از طرفی مقایسه شکل‌های الف و ب نشان می‌دهد که با افزایش پارامتر ژیالوشنیسکی-موریا، شدت افت درهم تنیدگی برای سیستمی با درهم تنیدگی اولیه بیشینه ($\theta = \frac{\pi}{4}$) بیشتر از حالت‌های با درهم تنیدگی اولیه غیربیشینه است.

نمودار تلاقی برحسب پارامتر θ در زمان معین $t = 10$ در شکل ۴ رسم شده است.



شکل ۴. نمودار تلاقی برحسب پارامتر θ بهازای $t = 10$ ، $\gamma = 0.2$ ، $D_z = 0$ ، $J(R) = J_z = 1$

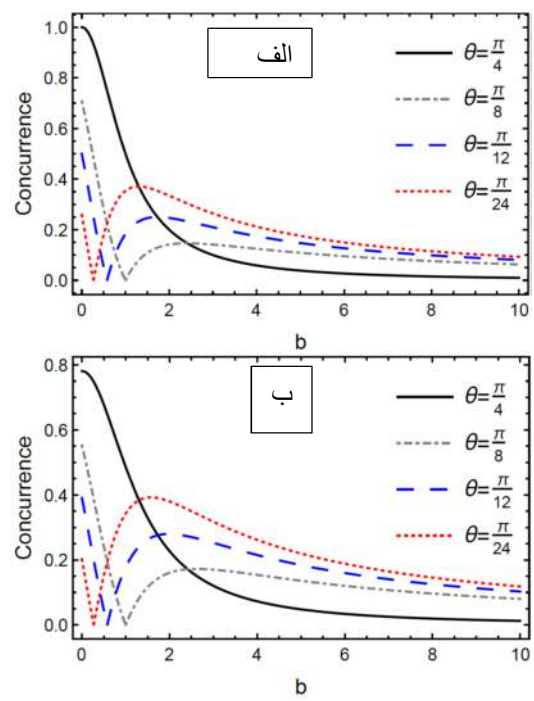
شکل ۴ نشان می‌دهد که در غیاب میدان مغناطیسی ناهمگن در زمان معین $t = 10$ ، با افزایش θ مقدار درهم تنیدگی افزایش می‌یابد. به طوری که بهازای $\theta = 0$ حالت سیستم جدا پذیر بوده و بهازای $\theta = \frac{\pi}{4}$ سیستم دارای بیشینه درهم تنیدگی است. در حالی که

از مقایسه نتایج ۳ و ۴ می‌توان نتیجه گرفت که با اعمال میدان مغناطیسی ناهمگن و اندرکنش ژیالوشنیسکی-موریا می‌توان اثر واهمدوسی را مشاهده کرد.

برای بررسی بیشتر نمودار تلاقی برحسب شدت میدان مغناطیسی ناهمگن در زمان معین $t = 10$ در شکل ۳ رسم شده است. شکل ۳ نشان می‌دهد که:

۱- زمانی که حالت اولیه سیستم دارای بیشینه درهم تنیدگی باشد یعنی $\theta = \frac{\pi}{4}$ با افزایش میدان مغناطیسی ناهمگن، درهم تنیدگی از مقدار بیشینه به طور یکنواخت کاهش می‌یابد.

۲- با افزایش پارامتر ژیالوشنیسکی-موریا مقدار درهم تنیدگی بیشینه در زمان اولیه کاهش می‌یابد و همچنین شدت افت درهم تنیدگی نیز کاهش می‌یابد.



شکل ۳. نمودار تلاقی برحسب شدت میدان مغناطیسی ناهمگن بهازای $D_z = 0$ ، $t = 10$ ، $\gamma = 0.2$ ، $J(R) = J_z = b = 1$ و $b = 0$: $D_z = 0.8$

ماتریس واحد و σ_i ماتریس‌های پائولی هستند. با جایگذاری رابطه ۹ در رابطه ۱۴ خواهیم داشت:

$$\rho_{out}(t) = \begin{pmatrix} 0 & 0 & 0 & 0 \\ 0 & \rho_{out}^{22} & \rho_{out}^{23} & 0 \\ 0 & \rho_{out}^{32} & \rho_{out}^{33} & 0 \\ 0 & 0 & 0 & 0 \end{pmatrix} \quad ۱۶$$

که در آن

$$\begin{aligned} \rho_{out}^{22} &= (\rho_{22} + \rho_{33})^2 \cos^2 \frac{\beta}{2}, \\ \rho_{out}^{33} &= (\rho_{22} + \rho_{33})^2 \sin^2 \frac{\beta}{2}, \\ \rho_{out}^{23} &= \rho_{out}^{32*} = \frac{1}{2}(\rho_{23} + \rho_{32})^2 e^{-i\varphi} \sin \beta, \end{aligned} \quad ۱۷$$

میزان همپوشانی حالت ورودی و خروجی با استفاده از وفاداری کوآنتومی سنجیده می‌شود که در بخش بعدی به آن پرداخته خواهد شد.

وفاداری کوآنتومی

در مکانیک کوآنتومی بهویژه در نظریه اطلاعات کوآنتومی، وفاداری کوآنتومی یک مفهوم کلیدی می‌باشد که میزان همپوشانی یا تشابه بین دو حالت کوآنتومی را نشان می‌دهد. وفاداری کوآنتومی بین دو حالت کوآنتومی ρ_{in} و ρ_{out} به صورت زیر تعریف می‌شود:

$$F(\rho_{in}, \rho_{out}) = (Tr(\sqrt{\sqrt{\rho_{in}} \rho_{out} \sqrt{\rho_{in}}}))^2 \quad ۱۸$$

به طوری که $0 \leq F \leq 1$. در فرآیند دوربری کوآنتومی، یک حالت کوآنتومی به واسطه یک کانال درهم‌تنیده از فرستنده به گیرنده ارسال می‌شود که برای سنجش کیفیت فرآیند دوربری کوآنتومی از وفاداری کوآنتومی میانگین استفاده خواهیم کرد که با میانگین‌گیری

با اعمال میدان مغناطیسی ناهمگن $b = 1$ درهم‌تنیدگی سیستم رفتار متفاوتی از خود نشان می‌دهد و درهم‌تنیدگی به ازای $\theta = \frac{\pi}{8}$ کمینه است.

دوربری کوآنتومی

دوربری کوآنتومی راهی برای انتقال اطلاعات کوآنتومی از آليس به باب با استفاده از یک کانال درهم‌تنیده است. در این بخش می‌خواهیم با استفاده از $\rho(t)$ حالت آمیخته دو کیوبیتی زنجیره اسپینی هایزنبرگ (H) که قبلاً به دست آورده‌یم رابطه ۸، به عنوان یک کانال درهم‌تنیده برای دوربری کوآنتومی استفاده کنیم. در این فرآیند فرض می‌کنیم آليس در نظر دارد یک حالت خالص دو کیوبیتی به صورت

$$|\varphi_{in}\rangle = \cos \frac{\beta}{2} |01\rangle + e^{i\varphi} \sin \frac{\beta}{2} |10\rangle \quad ۱۹$$

که در آن $0 \leq \beta \leq \pi$ و $0 \leq \varphi \leq 2\pi$ می‌باشد، توسط حالت آمیخته درهم‌تنیده $\rho(t)$ به باب ارسال کنند. برای حالت ورودی فوق، حالت خروجی به واسطه کانال درهم‌تنیده ۹ به صورت زیر به دست می‌آید:

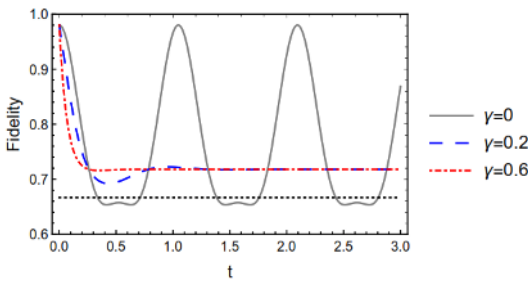
$$\rho_{out} = \sum_{i,j=0}^3 P_{ij} (\sigma_i \otimes \sigma_j) \rho_{in} (\sigma_i \otimes \sigma_j) \quad ۲۰$$

به طوری که $P_{ij} = Tr[E^i \rho(t)] Tr[E^j \rho(t)]$ بوده و $\sum_{i,j=0}^3 P_{ij} = 1$

$$\begin{aligned} E^0 &= |\psi^-\rangle \langle \psi^-|, E^1 = |\varphi^-\rangle \langle \varphi^-|, \\ E^2 &= |\varphi^+\rangle \langle \varphi^+|, E^3 = |\psi^+\rangle \langle \psi^+| \end{aligned} \quad ۲۱$$

که در آن $|\psi^\pm\rangle = \frac{1}{\sqrt{2}}(|01\rangle \pm |10\rangle)$ و $|\varphi^\pm\rangle = \frac{1}{\sqrt{2}}(|00\rangle \pm |11\rangle)$ می‌باشد. همچنین σ_0

به حداقل مقدار وفاداری کوآنتومی میانگین $\frac{2}{3}$ میل می‌کند. همچنین رفتار وفاداری کوآنتومی میانگین بر حسب زمان به ازای مقادیر مختلف پارامتر واهمدوسی $\theta = \frac{\pi}{4}$ در شکل ۶ رسم شده است.



شکل ۶. نمودار وفاداری کوآنتومی بر حسب زمان به ازای $D_z = 0.5$ و $J(R) = J_z = b = 1$. با توجه به شکل ۶ مشاهده می‌شود که:

۱- به ازای $\gamma = 0$ یعنی وقتی سیستم هیچ اندرکنشی با محیط اطراف ندارد، وفاداری کوآنتومی با زمان رفتار پریودیک از خود نشان می‌دهد و در بازه‌های زمانی خاصی مقدار وفاداری کوآنتومی میانگین از $\frac{2}{3}$ کوچکتر است.

۲- به ازای $D_z, b, \gamma \neq 0$ ، وفاداری کوآنتومی از مقدار بیشینه یک کاهش یافته و با توجه به شکل، به یک مقدار ثابت $F_{ave} \approx 0.72$ میل می‌کند که از حداقل وفاداری کوآنتومی میانگین برای دوربری کوآنتومی امن بیشتر است.

۳- با افزایش پارامتر واهمدوسی شدت افت وفاداری کوآنتومی میانگین افزایش می‌یابد.

بعلاوه به ازای $D_z, b = 0$ و $J(R) \neq 0$ جای‌گذاری رابطه ۱۰ در رابطه ۲۰ ملاحظه می‌شود وفاداری کوآنتومی میانگین مستقل از پارامتر واهمدوسی بیشینه است، $F_{ave} = 1$.

$F(\rho_{in}, \rho_{out})$ روی تمام حالت‌های خالص در کره بلوخ به صورت زیر به دست می‌آید:

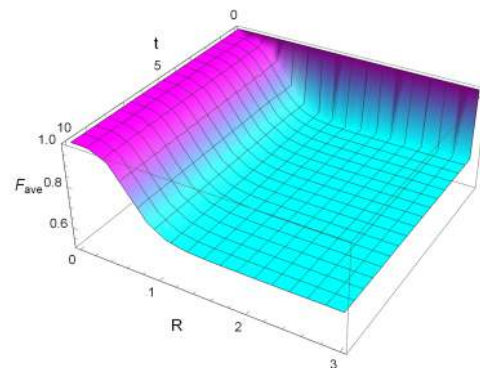
۱۹

$$F_{ave} = \frac{1}{4\pi} \int_0^{2\pi} d\varphi \int_0^\pi d\beta F_{ave}(\rho_{in}, \rho_{out}) \sin \beta$$

حداقل مقدار وفاداری کوآنتومی میانگین برای دوربری کوآنتومی موفق $\frac{2}{3}$ می‌باشد که معادل بیشینه مقدار وفاداری در فرآیند ارتباطات کلاسیکی است. با جایگذاری رابطه ۱۶ و ۱۷ در ۱۸ خواهیم داشت:

$$F_{ave} = \frac{1}{3} \{2(\rho_{22} + \rho_{33})^2 + (\rho_{23} + \rho_{32})^2\} \quad ۲۰$$

به این ترتیب می‌توان با جای‌گذاری از ماتریس چگالی تحول زمانی یافته رابطه ۹ و ۱۰، وفاداری کوآنتومی میانگین را به دست آورد. در شکل ۵، رفتار وفاداری کوآنتومی بر حسب زمان و فاصله نسبی و به ازای $\theta = \frac{\pi}{4}$ و $\gamma = 0.6$ ، $D_z = J_z = b = 1$ رسم شده است.



شکل ۵. نمودار وفاداری کوآنتومی بر حسب زمان و فاصله بین اسپین‌ها، به ازای $D_z = J_z = b = 1$ ، $\theta = \frac{\pi}{4}$ و $\gamma = 0.6$.

از شکل ۵ ملاحظه می‌شود که با افزایش فاصله نسبی بین اسپین‌ها، وفاداری کوآنتومی میانگین کاهش یافته و

در هم‌تینیدگی اولیه بیشتر خواهد بود. در ادامه از ماتریس چگالی دو کیوبیتی مدل هایزنبرگ XXZ در حضور اثر واهمدوسی به عنوان یک کانال کوآنتومی برای انتقال حالت‌های کوآنتومی از فرستنده به گیرنده استفاده کردیم و با استفاده از سنجه وفاداری کوآنتومی، اثر فاصله نسبی بین اسپین‌ها، واهمدوسی ذاتی، میدان مغناطیسی، اندرکنش ژیالوشینسکی-موریا و پارامترهای مربوط به حالت اولیه سیستم را بر کیفیت حالت کوآنتومی انتقال یافته، مورد مطالعه قرار گرفت. نتایج نشان داد که در اثر افزایش فاصله نسبی بین اسپین‌ها، وفاداری کوآنتومی میانگین کاهش می‌یابد. همچنین ملاحظه شد که در غیاب میدان مغناطیسی ناهمگن و اندرکنش ژیالوشینسکی-موریا مستقل از پارامتر واهمدوسی وفاداری کوآنتومی میانگین نیز همانند در هم‌تینیدگی بیشینه است، $F_{ave} = 1$. به طوری که به ازای $D_z, b, \gamma \neq 0$ ، وفاداری کوآنتومی میانگین از مقدار بیشینه یک کاهش یافته و به یک مقدار ثابت $F_{ave} \approx 0.72$ میل می‌کند که از حداقل وفاداری کوآنتومی میانگین برای دوربری کوآنتومی موفق و امن بیشتر است. به عبارتی اعمال میدان مغناطیسی ناهمگن و در نظر گرفتن اندرکنش ژیالوشینسکی-موریا، منجر به دستیابی به دوربری کوآنتومی بین دو ناظر با وفاداری کوآنتومی بالا شد که حائز اهمیت است.

مرجع‌ها

[1] A. Einstein, B. Podolski, N. Rosen, Can quantum mechanical description of physical reality be considered complete?, *Physical Review* 47 (1935) 777-780.
<https://doi.org/10.1103/PhysRev.47.777>

[2] C.H. Bennett, G. Brassard, C. Crepeau, R. Jozsa, A. Peres, W.K. Wootters, Teleporting an unknown quantum state via dual classical and Einstein-Podolsky-Rosen channels, *Physical*

نتیجه‌گیری

در این مقاله، مدل هایزنبرگ XXZ دو کیوبیتی با اندرکنش ژیالوشینسکی-موریا، در حضور میدان‌های مغناطیسی همگن و ناهمگن در راستای Z در نظر گرفته شده است به طوری که جفت‌شدگی اسپین-اسپین در راستاهای λ و μ تحت مدل کالگرو-موزر نوع I ، تابعی از فاصله نسبی بین اسپین‌هاست. با فرض اینکه سیستم ابتدا در $|01\rangle = \sin\theta|01\rangle + \cos\theta|10\rangle$ باشد، درایه‌های ماتریس چگالی سیستم در زمان t ، مستقل از شدت میدان مغناطیسی همگن است. مطالعه دینامیک در هم‌تینیدگی کوآنتومی به کمک سنجه تلاقی نشان داد که مقدار در هم‌تینیدگی نیز مستقل از میدان مغناطیسی همگن بوده و با افزایش فاصله نسبی بین اسپین‌ها، کاهش می‌یابد. همچنین تحول زمانی تلاقی به ازای مقادیر مختلف پارامتر واهمدوسی ذاتی و پارامتر ژیالوشینسکی-موریا نشان داد وقتی سیستم هیچ اندرکنشی با محیط اطراف نداشته باشد، در هم‌تینیدگی با زمان رفتار کاملاً پریودیک $D_z, b, \gamma \neq 0$ از خود نشان می‌دهد. به ازای $C(t) \approx 0.5$ میل می‌کند که افزایش پارامتر واهمدوسی منجر به افزایش شدت افت در هم‌تینیدگی می‌شود. مطالعه تلاقی بر حسب شدت میدان مغناطیسی ناهمگن در زمان معین نیز نشان داد که به ازای $\theta = \frac{\pi}{4}$ با افزایش میدان مغناطیسی ناهمگن، در هم‌تینیدگی از یک مقدار بیشینه که وابسته به پارامتر ژیالوشینسکی-موریا است، به طور یکنواخت کاهش یافته و به صفر میل می‌کند. در حالی که به ازای $\theta = \frac{\pi}{8}, \frac{\pi}{12}, \frac{\pi}{24}$ در هم‌تینیدگی پس از یک نابودی به ازای b های بزرگ دوباره احیا می‌شود. نکته جالب توجه اینجاست که به ازای $\theta = \frac{\pi}{24}$ در هم‌تینیدگی پس از احیا از

- (2005) 255. *Review Letter* **70** (1993) 1895–1899.
<https://doi.org/10.1103/PhysRevLett.70.1895>
- [11] Z. He, Z. Xiong, Y. Zhang, Influence of intrinsic decoherence on quantum teleportation via two-qubit Heisenberg XYZ chain, *Physics Letters A* **354** (2006) 79-83.
<https://doi.org/10.1016/j.physleta.2006.01.038>
- [12] X.B. Xu, J.M. Liu, P.F. Yu, Entanglement of a two-qubit anisotropic Heisenberg XYZ chain in nonuniform magnetic fields with intrinsic decoherence, *Chinese Physics B* **17** (2008) 456. <https://doi.org/10.1088/1674-1056/17/2/019>
- [13] J.L. Guo, Y. Xia, H.S. Song, Effects of Dzyaloshinski-Moriya anisotropic antisymmetric interaction on entanglement and teleportation in a two-qubit Heisenberg chain with intrinsic decoherence, *Optics communications* **281** (2008) 2326-2330.
<https://doi.org/10.1016/j.optcom.2007.11.082>
- [14] K. Hikami, M. Wadati, Integrability of Calogero-Moser spin system, *Journal of the Physical Society of Japan* **62** (1993) 469-472.
<https://doi.org/10.1143/JPSJ.62.469>
- [15] W.K. Wootters, Entanglement Formation of an Arbitrary State of Two Qubits, *Physical Review Letter* **80** (1998) 22-45.
<https://doi.org/10.1103/PhysRevLett.80.2245>
- [16] W.K. Wootters, Entanglement of formation and concurrence, *Quantum Information and Computation* **1** (2001) 27- 44.
<https://doi.org/10.26421/QIC1.1-3>
- [3] R. Jozsa, Fidelity for mixed quantum states, *Journal of modern optics* **41** (1994) 2315-2323.
<https://doi.org/10.1080/09500349414552171>
- [4] G. Burkard, D. Loss, D.P. Divincenzo, Coupled quantum dots as quantum gates, *Physical Review B* **59** (1999) 2070.
<https://doi.org/10.1103/PhysRevB.59.2070>
- [5] R. Vrijen, et al., Electron-spin-resonance transistors for quantum computing in silicon germanium heterostructures, *Physical Review A* **62** (2000) 012306.
<https://doi.org/10.1103/PhysRevA.62.012306>
- [6] S. Bose, Quantum communication through an unmodulated spin chain, *Physical review letters* **91** (2003) 207901.
<https://doi.org/10.1103/PhysRevLett.91.207901>
- [7] M. Christandl, N. Datta, A. Ekert, A.J. Landahl, Perfect state transfer in quantum spin networks, *Physical review letters* **92** (2004) 187902.
<https://doi.org/10.1103/PhysRevLett.92.187902>
- [8] G.J. Milburn, Intrinsic decoherence in quantum mechanics, *Physical Review A* **44** (1991) 5401.
<https://doi.org/10.1103/PhysRevA.44.5401>
- [9] S.B. Li, J.B. Xu, Magnetic impurity effects on the entanglement of three-qubit Heisenberg XY chain with intrinsic decoherence, *Physics Letters A* **334** (2005) 109-116.
<https://doi.org/10.1016/j.physleta.2004.11.008>
- [10] B. Shao, T.H. Zeng, J. Zou, Influence of intrinsic decoherence on entanglement in two-qubit quantum Heisenberg XYZ chain, *Communications in Theoretical Physics* **44**